

МОДЕЛИРОВАНИЕ ЭЛЕКТРИЧЕСКИХ ПОЛЕЙ ПРИ ЗОНДОВЫХ ИЗМЕРЕНИЯХ В АНИЗОТРОПНЫХ ПОЛУПРОВОДНИКОВЫХ ПЛЕНКАХ

© 2011 В. В. Филиппов¹, А. Н. Власов¹, Е. Н. Бормонтов²

¹Липецкий государственный педагогический университет, ул. Ленина 42, 398020 Липецк, Россия

²Воронежский государственный университет, Университетская пл. 1, 394006 Воронеж, Россия

Поступила в редакцию 20.09.2011 г.

Аннотация. Выполнено исследование распределения потенциала электрического тока в случае зондовых измерений на анизотропных полупроводниковых пластинах и пленках. Получены выражения для распределений потенциала, позволяющие определять область локализации поля зонда сканирующего микроскопа в случае исследования анизотропной пленки. Показано влияние размеров и электропроводности на изменение сопротивления растекания зонда в ограниченных пленках.

Ключевые слова: анизотропный полупроводник, пленка, распределение потенциала, электропроводность, сопротивления растекания, зонд.

ВВЕДЕНИЕ

Полупроводниковые пленки различной структуры в настоящее время все более широко применяются в производстве структур микро- и нанoeлектроники. Уменьшение толщин полупроводников до субмикронных вызывает различного рода неоднородности распределения свободных носителей заряда и анизотропии [1, 2]. Круг наблюдаемых явлений, связанных с переносом заряда в анизотропных полупроводниках, намного шире, чем в изотропных. В известной литературе описано изменение распределения электронов по долинам в кремнии и германии, изменение эффективных масс и других факторов приводящих к искусственной анизотропии пленок нанометровых толщин [1, 3]. Известно, что при исследовании электрических полей в области пленки, в том числе с помощью сканирующей зондовой микроскопии, необходимо учитывать изменение проводимости по различным направлениям [4, 5]. Для практических исследований экспериментатору и инженеру необходимо учитывать ряд факторов: конечные размеры и форму образцов, угол ориентации кристаллографических направлений относительно границ образцов, расположение и размеры токовых контактов и др. Проблема здесь, в первую очередь, заключается в сложном характере распределений электрического потенциала и плотности тока в образцах, обладаю-

щих анизотропией электрических параметров, что на данный момент в литературе освещено недостаточно.

В соответствии вышеуказанным, целью данной работы является анализ влияния анизотропии на распределение потенциала токового зонда в случае сканирования полупроводниковой пленки с тензорным характером проводимости. Основные задачи состоят в получении теоретических выражений для расчета распределений электрического поля с их последующим анализом, а также в исследовании влияния границ и электропроводности образца на величину сопротивления растекания зонда.

ТЕОРЕТИЧЕСКИЙ РАСЧЕТ ЭЛЕКТРИЧЕСКОГО ПОТЕНЦИАЛА

Рассмотрим распределение потенциала токового зонда к анизотропной полупроводниковой пленке (рис. 1а). Тензор удельной электропроводности в декартовой системе координат удобно представить в виде [6]:

$$\tilde{\sigma} = \begin{pmatrix} \sigma_{\parallel} & 0 & 0 \\ 0 & \sigma_{\parallel} & 0 \\ 0 & 0 & \sigma_{\perp} \end{pmatrix}, \quad (1)$$

где σ_{\perp} — значение удельной электропроводности вдоль оси z ; σ_{\parallel} — удельная проводимость по осям x и y . Подобного рода анизотропия может быть

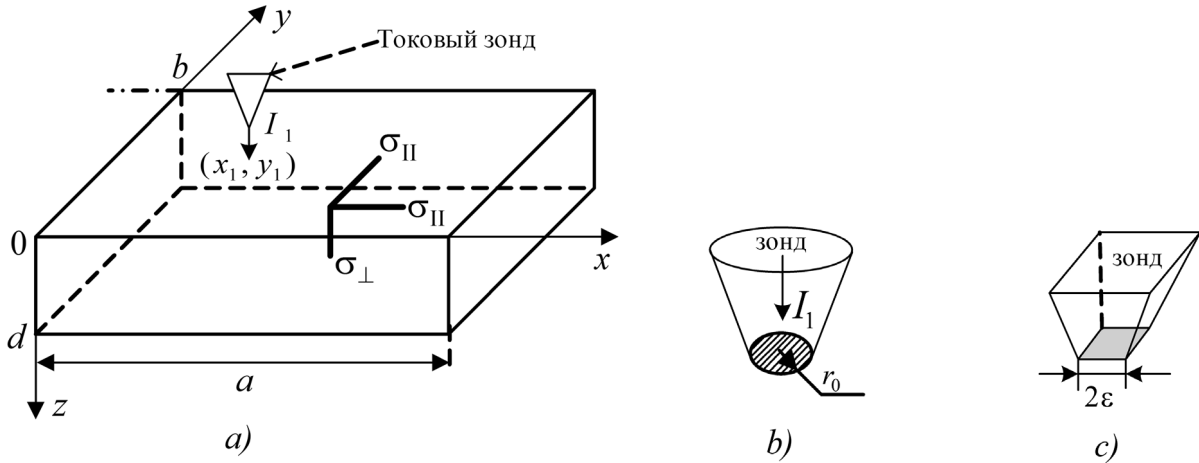


Рис. 1. Схема положения токового зонда к исследуемой пленке (а). I_1 — ток зонда; (x_1, y_1) — координаты центра токового зонда; a, b, d — геометрические размеры пленки; форма контакта в случае, когда влияние границ не учитывается (b); форма контакта в случае учета влияния границ (c)

вызвана структурой кристалла или влиянием деформаций [3, 6], а также возникать в квантово-размерных пленках [1, 2].

Уравнение для электрического потенциала запишется следующим образом [6, 7]:

$$\sigma_{\parallel} \frac{\partial^2 \phi}{\partial x^2} + \sigma_{\parallel} \frac{\partial^2 \phi}{\partial y^2} + \sigma_{\perp} \frac{\partial^2 \phi}{\partial z^2} = 0. \quad (2)$$

Выполнив в (2) замену переменной имеем уравнение Лапласа:

$$\frac{\partial^2 \phi}{\partial x^2} + \frac{\partial^2 \phi}{\partial y^2} + \frac{\partial^2 \phi}{\partial \xi^2} = 0, \quad (3)$$

$$\xi = \gamma z, \quad \gamma = \sqrt{\sigma_{\parallel} / \sigma_{\perp}}. \quad (4)$$

В случае неограниченной пленки удобно воспользоваться цилиндрической системой координат, в которой уравнение (3), согласно [6, 7] примет вид:

$$\frac{\partial^2 \phi}{\partial r^2} + \frac{1}{r} \cdot \frac{\partial \phi}{\partial r} + \frac{\partial^2 \phi}{\partial \xi^2} = 0. \quad (5)$$

Полагаем начало цилиндрической системы координат в центре токового зонда. Граничные условия для потенциала следуют из условия равенства нулю нормальной составляющей плотности тока на всей поверхности образца кроме точек под токовым электродом острия радиусом r_0 (рис. 1b), потенциал нижней грани принимаем равным нулю:

$$\begin{aligned} \phi|_{r \rightarrow \infty} = 0; \quad \phi|_{\xi = \gamma d} = 0; \\ \left. \frac{\partial \phi}{\partial \xi} \right|_{\xi=0} = \begin{cases} 0, & r_0 > r; \\ -\frac{I_1}{\gamma \sigma_{\perp} \pi r_0^2}, & r \leq r_0. \end{cases} \end{aligned} \quad (6)$$

Уравнение Лапласа с граничными условиями

(6) представимо в виде интеграла Фурье — Бесселя [7, 8] и имеет следующее решение:

$$\phi(r, \xi) = \int_0^{\infty} \Phi(t, \xi) J_0(t \cdot r) t dt, \quad (7)$$

где коэффициенты $\Phi(t, \xi)$ определяются равенством:

$$\Phi(t, \xi) = \int_0^{\infty} \phi(r, \xi) J_0(t \cdot r) r dr, \quad (8)$$

Если подставить выражение для потенциала (7) в уравнение (5), умножить его на $J_0(t \cdot r) r dr$, проинтегрировать по r от 0 до ∞ и учесть свойство ортогональности функций Бесселя [7, 8], то для $\Phi(t, \xi)$ будем иметь уравнение:

$$\frac{d^2 \Phi}{d \xi^2} - t^2 \cdot \Phi = 0. \quad (9)$$

Следовательно,

$$\Phi(t, \xi) = (A \cdot \text{sh}(t \cdot \xi) + B \cdot \text{ch}(t \cdot \xi)), \quad (10)$$

где постоянные A и B определяются из граничных условий (6).

В итоге, выражение для потенциала представимо в виде:

$$\begin{aligned} \phi(r, \xi) = -\frac{I_1}{\pi \gamma \sigma_{\perp} r_0} \int_0^{\infty} \frac{\text{sh}(t(\xi - \gamma d))}{t \cdot \text{ch}(t \cdot \gamma d)} \times \\ \times J_0(t \cdot r) J_1(t \cdot r_0) dt \end{aligned} \quad (11)$$

Возвращаясь к стандартным цилиндрическим координатам, получаем:

$$\begin{aligned} \phi(r, z) = -\frac{I_1}{\pi \gamma \sigma_{\perp} r_0} \int_0^{\infty} \frac{\text{sh}(t \cdot \gamma(z - d))}{t \cdot \text{ch}(t \cdot \gamma \cdot d)} \times \\ \times J_0(t \cdot r) J_1(t \cdot r_0) dt \end{aligned} \quad (12)$$

Определив среднее значение потенциала по площади круга контакта, находим сопротивление растекания:

$$R_0 = \frac{2}{\pi \sigma_{\perp} \gamma r_0^2} \int_0^{\infty} \frac{\text{sh}(t \cdot \gamma \cdot d)}{t^2 \cdot \text{ch}(t \cdot \gamma \cdot d)} (J_1(t \cdot r_0))^2 dt. \quad (13)$$

В соответствии с полученным выражением (13), величинами, характеризующими растекание тока в пленке, являются площадь контактной поверхности [8—10], толщина пленки и параметры анизотропии.

Для учета влияния границ пленки рассмотрим распределение потенциала токового зонда к прямоугольной анизотропной пленке (рис. 1а), острие токового зонда представим квадратом, со стороной 2ε (рис. 1с). Указанная форма контактной площадки позволяет получить аналитическое решение для потенциала в прямоугольном образце.

Граничные условия для потенциала в данном случае принимают вид:

$$\begin{aligned} \sigma_{\parallel} \frac{\partial \phi}{\partial x} \Big|_{x=0,a} &= \sigma_{\parallel} \frac{\partial \phi}{\partial y} \Big|_{y=0,b} = 0; \quad \phi|_{z=d} = 0; \\ \sigma_{\perp} \frac{\partial \phi}{\partial z} \Big|_{z=0} &= \begin{cases} -\frac{I_1}{4\varepsilon^2}, & x_1 - \varepsilon \leq x \leq x_1 + \varepsilon, \\ & y_1 - \varepsilon \leq y \leq y_1 + \varepsilon, \\ 0, & \text{в остальной области.} \end{cases} \end{aligned} \quad (14)$$

Здесь x_1 и y_1 — координаты центра подвижного зонда, грани контактирующей поверхности параллельны граням образца (рис. 1).

Решение краевой задачи (2), (14) для распределения потенциала удобно представить в виде двойного ряда Фурье:

$$\begin{aligned} \phi(x, y, z) &= \frac{I_1}{ab\sigma_{\perp}} [d - z] - \\ &- \frac{4I_1}{ab\sigma_{\perp}} \sum_{n,k=0}^{\infty} \Theta_{nk} \frac{\text{sh}(\eta_{nk}(z-d))}{\eta_{nk} \text{ch}(\eta_{nk}d)} \frac{\sin(\alpha_n \varepsilon)}{\alpha_n \varepsilon} \frac{\sin(\beta_k \varepsilon)}{\beta_k \varepsilon} \times, \end{aligned} \quad (15)$$

$$\times \cos(\alpha_n x_1) \cos(\beta_k y_1) \cos(\alpha_n x) \cos(\beta_k y)$$

$$\begin{aligned} \alpha_n &= \frac{\pi n}{a}; \quad \beta_k = \frac{\pi k}{b}; \quad \eta_{nk} = \sqrt{\frac{\sigma_{\parallel}}{\sigma_{\perp}} (\alpha_n^2 + \beta_k^2)}; \\ \Theta_{nk} &= \begin{cases} 1, & n \neq 0 \wedge k \neq 0; \\ 1/2, & n = 0 \wedge k \neq 0 \vee n \neq 0 \wedge k = 0; \\ 0, & n = k = 0. \end{cases} \end{aligned} \quad (16)$$

Находим сопротивление растекания ограниченной анизотропной пленки:

$$\begin{aligned} R &= \frac{d}{ab\sigma_{\perp}} \left[1 + \frac{4}{d} \sum_{n,k=0}^{\infty} \Theta_{nk} \frac{\text{sh}(\eta_{nk}d)}{\eta_{nk} \text{ch}(\eta_{nk}d)} \times \right. \\ &\times \left. \left(\frac{\sin(\alpha_n \varepsilon)}{\alpha_n \varepsilon} \frac{\sin(\beta_k \varepsilon)}{\beta_k \varepsilon} \right)^2 \cos^2(\alpha_n x_1) \cos^2(\beta_k y_1) \right]. \end{aligned} \quad (17)$$

Одним из основных условий применимости выражений для потенциала (8), (15) является наличие гладкой границы на плоскости раздела контакта и металлической поверхности. Также не учтено влияние квантовых и зарядовых эффектов [1, 2, 11], которые наиболее ярко проявляются при низких температурах.

МОДЕЛИРОВАНИЕ ЭЛЕКТРИЧЕСКИХ ПОЛЕЙ ТОКОВОГО ЗОНДА

Смоделируем электрическое поле в сечении полупроводниковой пленки в плоскости $y = b/2$ с соотношением сторон: $a = b = 10d$, $2\varepsilon = d$ контакт находится по центру поверхности пленки

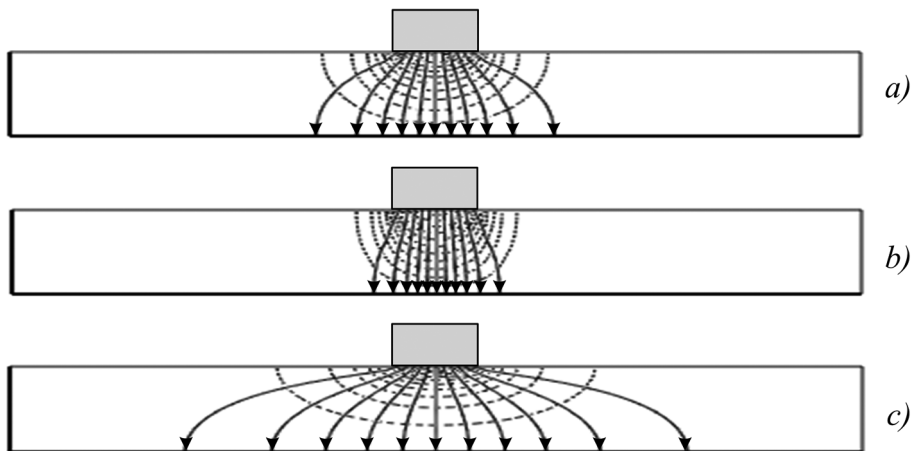


Рис. 2. Модель распределений электрического потенциала (пунктир) и тока (сплошные линии) в анизотропной пленке: $a - \sigma_{\parallel} = \sigma_{\perp}$; $b - \sigma_{\parallel} = \sigma_{\perp}/5$; $c - \sigma_{\parallel} = 5\sigma_{\perp}$

(рис. 2). Модели распределений потенциала и тока построены на основе выражения (15) при $x_1 = a/2$, $y_1 = b/2$. На приведенном рис. 2 общее число эквипотенциалей в сечении образца равно 20, линий тока — 10. Близкие к предложенным параметрам анизотропии на рис. 2 обладают диарсениды кадмия и цинка (естественная анизотропия) или могут иметь место при деформациях полупроводников.

Из построенных нами моделей распределения потенциала и токовых линий (рис. 2) видно, что увеличение параметра анизотропии $\sigma_{\perp}/\sigma_{\parallel}$ приводит к значительному сгущению эквипотенциалей и токовых линий в области под контактом, а соответственно уменьшение параметра $\sigma_{\perp}/\sigma_{\parallel}$ — к растеканию поля по объему пленки.

Построим графическую зависимость отношения сопротивления пленки, полученное согласно (17), к сопротивлению без учета границ (13). В рассмотренном случае полупроводниковая пленка имеет вид квадрата с параметрами $a = b$, $d = a/10$. Зонд с шириной контакта $2\varepsilon = d$ находится по центру поверхности пленки ($x_1 = a/2$, $y_1 = b/2$, $z = 0$) (рис. 3). Близкие к предложенным параметрам анизотропии на рис. 2 обладают диарсениды кадмия и цинка (естественная анизотропия) или могут иметь место при деформациях полупроводников. Видно (рис. 3), что величина параметра анизотропии $\sigma_{\perp}/\sigma_{\parallel}$ оказывает значительное влияние на величину сопротивления растекания, наиболее ярко выражено влияние анизотропии и границ образца при размерах контакта зонда $2\varepsilon < 20a$.

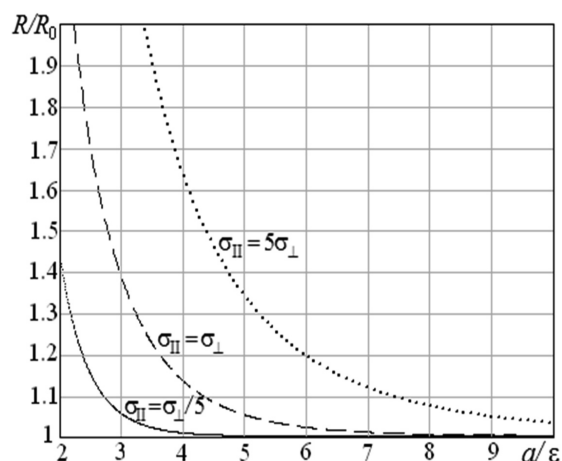


Рис. 3. Зависимости относительных сопротивлений от размеров квадратной пленки ($a = b$, $d = a/10$) при параметрах электропроводности $\sigma_{\parallel} = \sigma_{\perp}/5$, $\sigma_{\parallel} = \sigma_{\perp}$, $\sigma_{\parallel} = 5\sigma_{\perp}$

ЭКСПЕРИМЕНТАЛЬНАЯ ПРОВЕРКА

Экспериментальная проверка полученных распределений была выполнена на анизотропных монокристаллах диарсенидов кадмия (CdAs_2) и цинка (ZnAs_2), параметры которых представлены в работе [10]. В качестве токовых электродов использовались вольфрамовые прижимные зонды. В каждом случае значение потенциала определялось с помощью подвижного металлического зонда, относительно электрода, который был заземлен. Размер токового контакта и положение зонда контролировалось с помощью микроскопа. Через образец в каждом случае пропускался постоянный ток от стабилизированного источника питания, разность потенциалов определялась с помощью высокоомного вольтметра. Погрешность измерений не превышала 5%. После получения экспериментальных значений потенциала были построены графики соответствующих теоретических зависимостей $\varphi(x,y)$ при том же значении тока через образец. На рис. 4 приведен пример сопоставления теоретической кривой, построенной согласно распределению потенциала (15) для диарсенида кадмия ($\sigma_{\perp} = 8.76 \text{ Ом}^{-1}\text{м}^{-1}$, $\sigma_{\parallel} = 40.96 \text{ Ом}^{-1}\text{м}^{-1}$, $a = 8.65 \text{ мм}$, $b = 10.15 \text{ мм}$, $d = 2.65 \text{ мм}$, $2\varepsilon = 1.24 \text{ мм}$, $x_1 = a/2$, $y_1 = b/2$) на поверхности кристалла в плоскости контакта на прямой $y = b/2$. Получено хорошее соответствие экспериментальных данных и теоретических распределений потенциала электрического поля в пределах погрешности измерений.

ЗАКЛЮЧЕНИЕ

Показано при зондовых измерениях электрофизических параметров пленок субмикронных

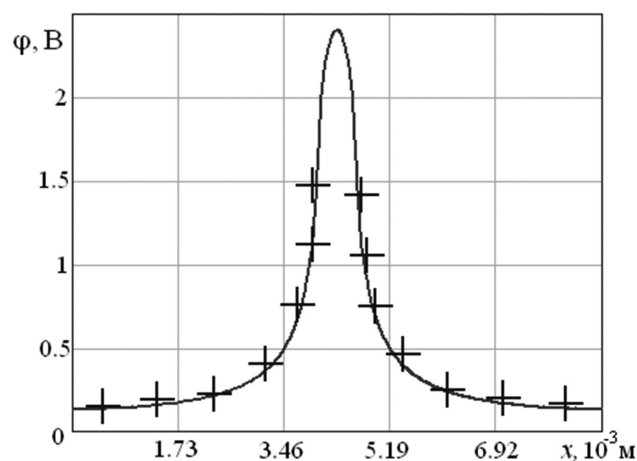


Рис. 4. Сравнение экспериментальных данных (+) и теоретической зависимости (сплошная линия) распределения потенциала на линии контакта в полупроводниковом образце.

толщин распределение потенциала существенным образом зависит от анизотропии, величина параметра анизотропии $\sigma_{\perp}/\sigma_{\parallel}$ оказывает значительное влияние на величину сопротивления растекания токового зонда.

Полученные распределения потенциалов (12), (15) позволяют определять область локализации потенциала токового зонда в зависимости от размеров пленки, зонда и величин компонент тензора электропроводности, а также предлагать методики определения параметров анизотропии и неоднородности пленок и наноструктур по данным сканирующей зондовой микроскопии.

СПИСОК ЛИТЕРАТУРЫ

1. Драгунов В. П., Неизвестный И. Г., Гридчин В. А. Основы наноэлектроники. М.: Логос, 2006. 494 с.
2. Ando T., Fowler A. B., Stern F. // *Reviews of Modern Physics*. 1982. V. 54. №. 2. P. 437—672.
3. Филиппов В. В., Власов А. Н., Бормонтов Е. Н. // *Конденсированные среды и межфазные границы*. 2010. Т. 12. № 3. С. 282—287.
4. Неволин В. К. Зондовые нанотехнологии в электронике. М.: Техносфера, 2006. 160 с.
5. Брандон Д., Каплан У. Микроструктура материалов. Методы исследования и контроля. М.: Техносфера, 2004. 384 с.
6. Най Дж. Физические свойства кристаллов и их описание при помощи тензоров и матриц. М.: Мир, 1967. 386 с.
7. Джексон Дж. Классическая электродинамика. М.: Мир, 1965. 700 с.
8. Поляков Н. Н., Коньков В. Л. // *Известия вузов. Физика*. 1970. № 9. С. 100—105.
9. Батавин В. В., Концевой Ю. А., Федорович Ю. В. Измерение параметров полупроводниковых материалов и структур. М.: Радио и связь, 1985. 263 с.
10. Филиппов В. В. // *Приборы и техника эксперимента*. 2007. № 4 С. 136—139.
11. Погосов В. В. Введение в физику зарядов и размерных эффектов. Поверхность, кластеры, наноразмерные системы. М.: Физматлит, 2006. 164 с.

Филиппов Владимир Владимирович — к.ф.-мат.н., доцент, Липецкий государственный педагогический университет; тел.: (4742) 328385, e-mail: wwfilippow@mail.ru

Власов Артур Николаевич — аспирант, Липецкий государственный педагогический университет; тел.: (4742) 328385, e-mail: wlasow4887@yandex.ru

Бормонтов Евгений Николаевич — д.ф.-мат.н., профессор, заведующий кафедрой физики полупроводников и микроэлектроники, Воронежский государственный университет; тел.: (473) 220-8633, e-mail: PIPhys@main.vsu.ru

Filippov Vladimir V. — PhD (physical and mathematical sciences), associate professor, Lipetsk State Pedagogical University; tel.: (4742) 328385, e-mail: wwfilippow@mail.ru

Vlasov Arthur N. — the post graduate student, Lipetsk State Pedagogical University, tel.: (4742) 328385, e-mail: wlasow4887@yandex.ru

Bormontov Evgeniy N. — grand PhD (physical and mathematical science), professor, head of physic of semiconductor and microelectronics chair, Voronezh State University; tel.: (473) 220-8633, e-mail: PIPhys@main.vsu.ru